

プレース付き鉄骨ラーメンの実験的研究（その1）

高橋泰彦
岡田宏

概要

某ビルディングは純鉄骨構造であるが中央コア部分にプレース入りの剛架構を設けて水平力を負担させている。したがって、コア部分のプレースがこの建物の挙動の重要な要素となる。そこで、この建物を対象にプレースの形式をX型、Kトラス型、Z型等に変化させて、プレースがラーメンの剛性、強度、変形性状、靭性率にどのような役割を果すか調べるために模型実験とプレースだけの座屈実験を行なった。その結果、架構の耐力はプレースの座屈できまとともに弾塑性挙動におよぼす影響も大きいこと、また、剛性、強度を高めるにはX型プレースが適当であるが、靭性率が少々低く、Kトラス型は靭性が良好であるのに反し剛性がやや劣ること等が判明した。

1. 序

建設予定の某ビルディングの地上部は純鉄骨構造であるが、中央コア部分に基礎から塔屋まで通じるプレース入りの剛架構を設けて、耐震、耐風の要素とし、ほとんどの水平力を負担させている。したがって、コア部分のプレースがこの建物全体の挙動の重要な要素となる。しかし、圧縮プレースが建物の挙動におよぼす影響は明らかでなく、現行の鋼構造計算規準では引張プレースのみを有効としている状態であるが、細長比の小さいプレースが用いられた場合、引張プレースはもちろん、圧縮プレースも建物の剛性、耐力、変形性状、復元力特性に大きな影響を与えていた。

そこで、この建物を対象にプレースの形式を変化させて、引張、圧縮プレースがラーメンに果たす役割やプレースが繰り返し塑性変形を受けた時の性状を調べるために、実大の2/3の模型実験と、プレースの耐力、座屈後の挙動を調べるためにプレースのみを取り出して座屈実験を行なった。

2. プレース付きラーメンの実験

2.1. 試験体

試験体は図-1, 2に示すごとく圧縮または引張プレースが単独に存在するRZ型、RJ型、X型プレースをもつRX型、Kトラス型のプレースをもつRV型、プレースのないRO型である。ラーメンの部材は全試験体同じで柱はH-250×250×20×28の溶接H型鋼、梁は補強カバープレートHP12をつけた2本のH-150×75×9であり、プレースはI-125×65×6 2本を

背中合わせにしたものである。また、各部材はガセットプレートHP16を介して組立てられ、プレースの接合にはハイテンションボルトφ19を使用し、標準ボルト張力まで締めつけた。

なお、各部材の断面性能と材料特性を表-1に示す。

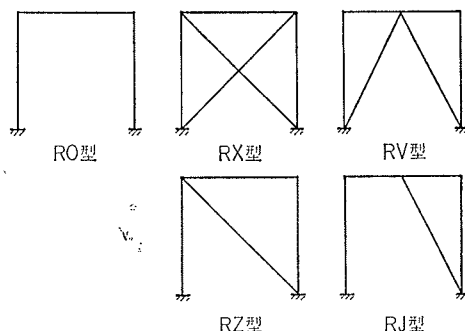


図-1 試験体略図

	降伏応力 t/cm ²	最大応力 t/cm ²	ヤング率 t/cm ²	断面積cm ²	断面2次モーメント cm ⁴	
プレース	I-125	2.15	3.17	1.95×10^3	34.2	380
梁	I-150	3.17	4.51	2.10×10^3	120	4700
柱	H20	3.39	4.61	2.10×10^3	178	7300
	H28	2.14	4.02	2.00×10^3		

表-1 断面性能と材料特性

2.2. 載荷方法および測定装置

載荷は図-2のごとく、柱脚を載荷用大型L型フレームに直接溶接し、200ton ジャッキ2基でピン、ローラー、ロードセルを介して水平左右繰り返し加力を行なった。また、測定は水平変位、プレースの曲がり、柱脚の浮き上り、プレース、柱、梁各々の伸縮をダイヤルゲージで、各部材の歪みをストレインゲージ（ゲー

ジ長10mm)で行なった。歪み測定にはデジタルストレインメーターを用いて自動記録させた。

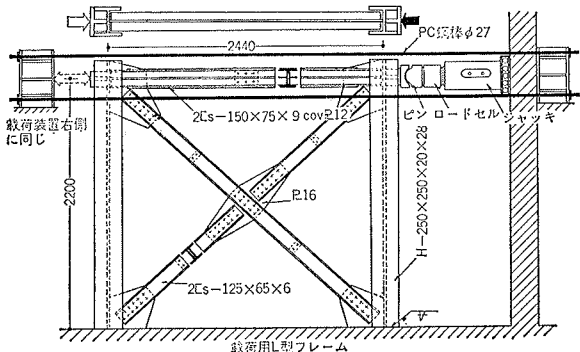


図-2 載荷図および試験体

2.3. 実験経過

載荷は正負荷重を繰り返したが、正荷重とはRZ型RJ型ではブレースに圧縮力が、またRX型では2部材に分断されたブレースに圧縮力が生じる場合であり、繰り返し載荷はジャッキの移動によって行なった。

各試験体とも第1正荷重からブレースに少しづつ面外の曲がりが生じ、負荷重でこの曲がりが復元した。変形振幅を増加させながらこれを繰り返したが、荷重が大きくなるとブレースの曲がりによるボルト部分のすべりと思われる、ショックを伴う音響がしばしば起つた。ブレースに局部座屈が生じた状態を最終としたが、RJ型以外のラーメンの部分はブレースにかなりの面外のたわみが起つた時に柱脚が降伏し、これらの試験体では耐力、変形ともブレースの性状が大きな役割を果たしていることがわかる。また、RJ型ではラーメンに塑性ヒンジが生じてからブレースが座屈した。

各ブレースとも面外曲げがかなり大きくなるまで組立材としてよりも単1材としての挙動に近く、局部座屈が起きる大変形となってから2本の匁型鋼の中央部のたわみ量が異なり組立材の挙動となつた。また、ブレースの面外の座屈が生じるにつれて、ラーメン全体もわずかずつではあるが面外に傾きが起つてきた。

2.4. 計算

イ) ブレース付きラーメンの計算

各試験体とも次の仮定のもとで弾性計算を行なつた。

1. 部材は線材とする。
2. ラーメンの接合部、柱脚とも剛接とする。
3. ブレースの端部はガセットプレートの面外曲げ剛性が小さいのでピン接合とする。

ロ) ブレースの座屈計算

次の仮定でEngesser-ShanleyのTangent Modulus理論により計算した。

1. 中心圧縮単1部材とする。
2. 部材長は匁型鋼の長さと考える。
3. 比例限度以上の $\sigma-\varepsilon$ 曲線はDIN 4114より次式を用いる。

$$\tau = 1 - (\sigma_{cr} - \sigma_p / \sigma_y - \sigma_p)^2$$

$$\tau = T/E$$

σ_{cr} : 座屈応力 σ_p : 比例限度 σ_y : 降伏応力

T: Tangent Modulus E: Young Modulus

4. 素材試験より $\sigma_p/\sigma_y=0.7$, $E=1.95 \times 10^3$ t/cm² を用いる。

2.5. 実験結果および考察

- 2.5.1. 全体変形 図-3に各試験体の荷重-全体変形の関係を示す。この変形量は両側の柱頭部分の水平移動の平均値であり、また荷重はブレースの圧縮応力に換算してある。これを見ると挙動が3種類に分類できる。すなわち、イ) 降伏荷重の明確なRX, RV型、ロ) 降伏荷重の不明確なRJ, RO型、ハ) ブレースの座屈後の繰り返しにより耐力が徐々に低下するRZ型の3種類である。

RX, RV型とともに初期剛性は計算値と比べ15%程度低く、また座屈荷重の83%, 72%程度で勾配はゆるやかになるが、ブレースの完全座屈荷重は計算値と良く一致する。そして、座屈後の耐力もほとんど低下せず一定荷重を保っている。ただし、ヒステレスループの勾配は繰り返すたびにゆるやかになる。これは座屈したブレースの伸び剛性やBaushinger効果のためであるが後述する。両者の最大荷重はRX型が115ton, RV型が80tonと約3:2の割合であり、剛性が4:3の比率であるが、ブレースの形式の差と考えられる。また、靭性率はRV型がRX型より良好である。しかし、RV型の靭性は梁の曲げ剛性によって著しく変化することが考えられる。梁の曲げ剛性が比較的小さければブレースの伸縮を梁が緩和させる役目を果たし靭性はなくなる。

次に、ブレースのないRO型は梁端、柱脚の順に塑性ヒンジが生じ崩壊に到るが、局部降伏の影響が大きいためか降伏点も明らかでないゆるやかな曲線が描いている。ラーメンに取り付けられたブレースの断面が小さい場合、または負担する荷重が小さい場合には、このRO型の挙動と類似するはずである。例えば、RJ型の性状は耐力、剛性には違いはあるが、ブレースに働く力が圧縮、引張にもかかわらずRO型と良く一致している。すなわち、ブレースの水平力負担率が小さく、ブレースが座屈する前にラーメンに降伏が起つたためである。

RZ型の初期剛性はRV型に匹敵するほど高いも

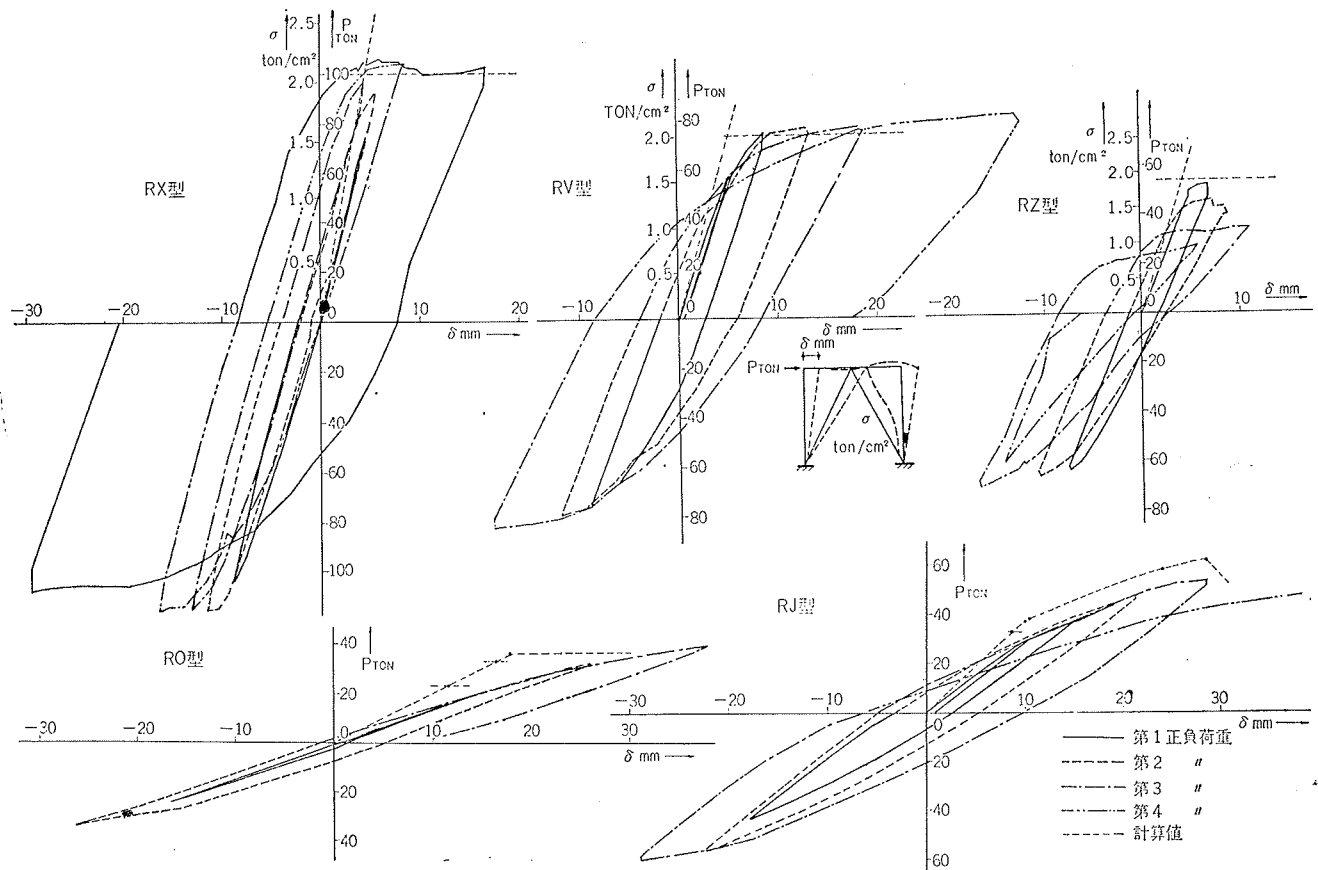


図-3 荷重一変形曲線

のであるが、RZ型の挙動はプレースに圧縮力が働く場合と引張力が働く場合とで著しく異なる。プレースが座屈した後、繰り返し載荷によって引張プレースは剛性が低下する程度で耐力的には問題とならないが、圧縮プレースの耐力の低下は著しい。また、非常に小さい変形でプレースに局部座屈が生じ革性率も低い。

実際の建物では片プレースということはありえないでの問題とはならないが、RZ型では過度の力をプレースに負担させるので小さな変形で座屈する。剛性は低くとも、RJ型の方が良好と思われる。

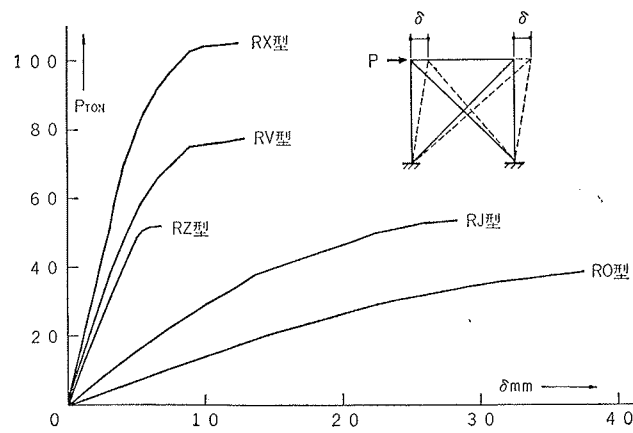


図-4 初期剛性の比較

各試験体の第1正荷重の剛性を図-4に示す。RX, RV, RZ, RJ, RO の比が14:10:8.3:2.7:1.0で RJ型以外のプレースはきわめて有効であることがわかる。また、RO型以外の耐力は105, 77, 53, 54tonで、だいたい2:1.5:1:1である。

2.5.2. プレースの挙動 図-5は各試験体の荷重一変形曲線からRO型の荷重一変形曲線を減じたものであり、プレースのみの挙動を示している。

初期剛性は計算値よりもかなり低く、この影響が全体の変形の剛性の低下となってあらわれてくる。この原因として、プレースの初期たわみ、局部降伏等が考えられる。また、座屈耐力は良く一致している。

圧縮、引張のプレースをもつRX, RV型では圧縮プレースの座屈後も引張プレースが有効に働くために耐力はゆるやかに低下してゆき、さらに、その低下部分はラーメンが負担するために全体の荷重は一定値を保っているが、片プレースのRZ型は急激に耐力が低下している。また、プレースの中央部に局部座屈が起った時の水平変位もRV, RJ, RX, RZの順に少くなり、プレースの形から考えるとV型がX型より良好な挙動を示すといえる。

図-6にプレース断面の歪分布を示す。図示してい

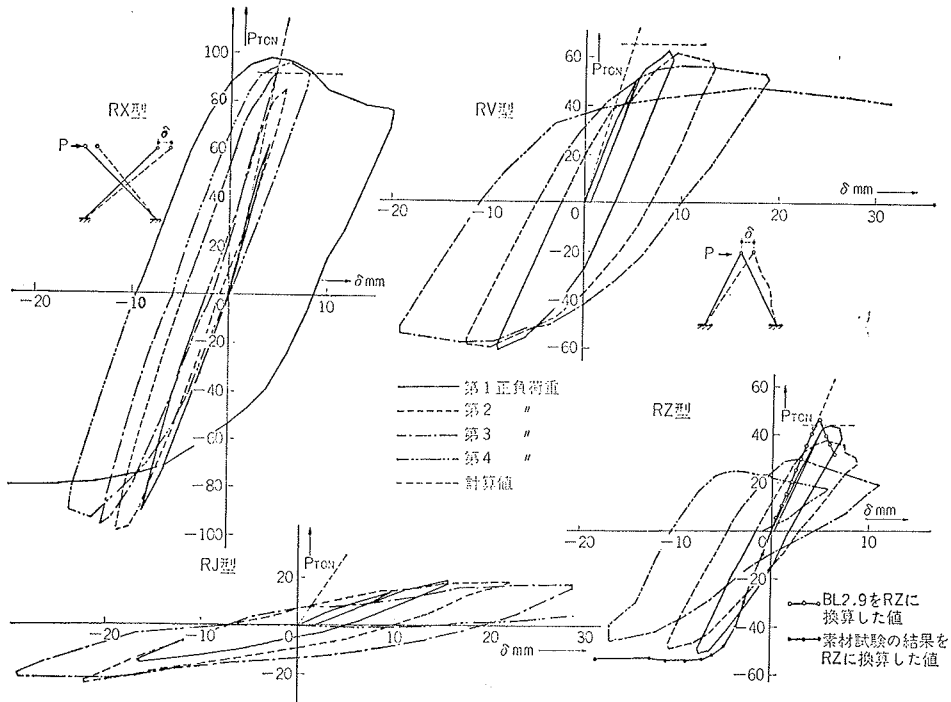


図-5 プレースの荷重一変形曲線

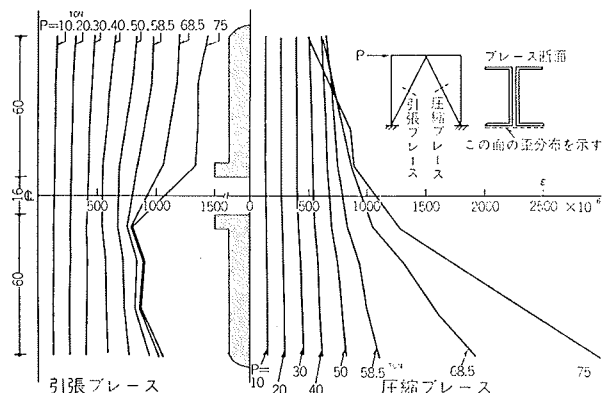


図-6 プレースの歪分布

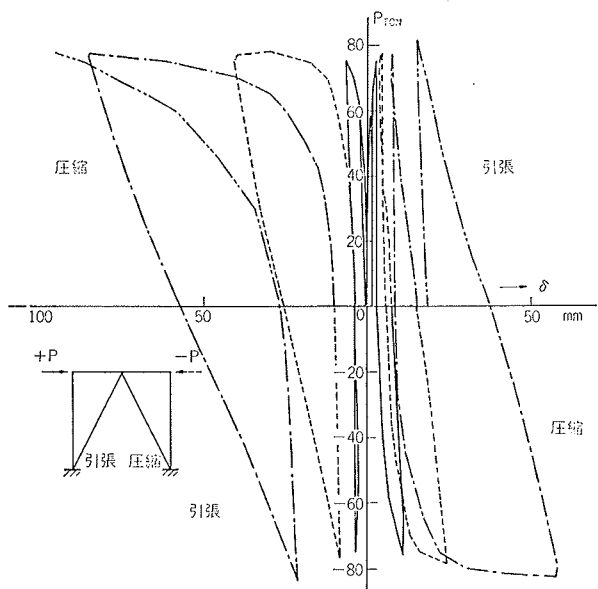


図-7 プレースの面外たわみ

るのはRV型であるが、他の試験体もだいたい同様の結果である。圧縮プレースは50tonまで一様な歪分布を示すが、それ以後は曲がりが生じ60tonでは凹部は降伏し、凸部では歪みの減少がみられる。引張側ではほぼ等分布であるが歪が 1000μ をこえると乱れてくる。また、図-7はプレースの面外たわみ量であるが、60tonあたりからたわみが増加してくる。これは歪分布の傾向と一致する。座屈した後に引張力を加えるとたわみは減少するが、繰り返し載荷によって残留

たわみは増加し、また残留たわみが増すにつれてプレースの圧縮および伸び剛性は著しく低下していく。

2.5.3. 剛性低下 前述したごとく、繰り返し載荷によってヒステリシスループの勾配は徐々にゆるやかになってくる。この剛性の低下を図-8に示すように2通りの方法で整理した。すなわち、剛性としてル

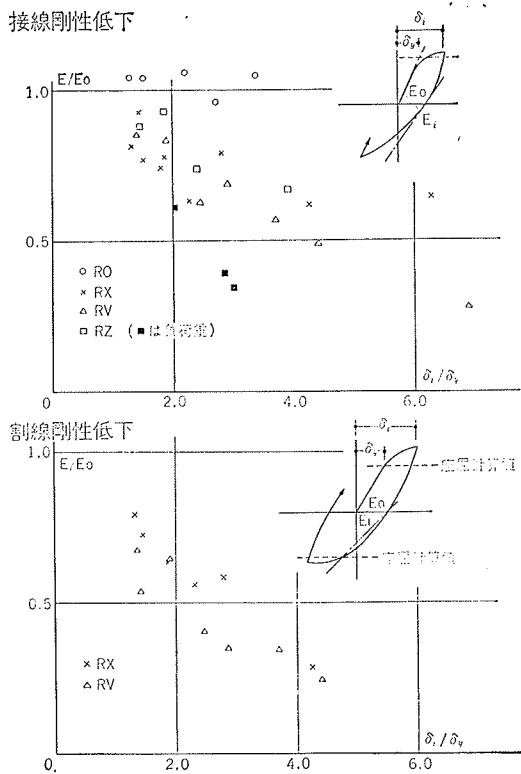


図-8 剛性低下率

の荷重0のときの接線をとる方法と荷重0の箇所とプレースの座屈荷重計算値の点を結ぶ割線をとる方法である。図-8にはかなりの乱れがみられるが、全体的にみてRO型では剛性の低下はない。しかし、その他の形式では δ/δ_y の増加につれて二次曲線的に低下する。接線剛性の低下は非常にゆるやかで変形が $4\delta_y$ （座屈荷重時の変形の計算値）の時、 $0.6E_0$ である。

また、割線勾配はかなり急激に低下し、 $0.3E_0$ である。RXとRV型と比べるとRXの低下がわずかに少く、RZ型では正荷重と負荷重の剛性の違いが大きい。これは、プレースが座屈した後の伸び剛性の低下や、プレースに逆に引張力が働いた時でも曲がりが完全に復元しないことによる曲げ剛性の低下の影響と考えられる。

2.6. 結論

- 1) 各試験体とも初期剛性は計算値より少々低いが、耐力はかなり良く一致している。
- 2) プレースの挙動にも1)と同様のことがいえる。
- 3) プレースが座屈した後のプレースの負担する荷重は低下する。この傾向は片プレースの時に特に著しい。
- 4) 強度、剛性を高めるにはX型のプレースが有効であり、靭性率を高めるにはKトラス型が有利である。
- 5) Kトラス型のプレース付きラーメンの挙動は梁の曲げ剛性の影響が大である。
- 6) プレースの面外局部座屈で最大耐力がきまる。
- 7) 繰り返しによる剛性の低下率はバラツキが大きいが、接線剛性では $4\delta_y$ の変形で $0.6E_0$ まで低下する。また、低下率はKトラス型よりX型の方が、少々小さい。

3. プレースの座屈実験

3.1. 概要

前項の実験で明らかのようにプレースがラーメンの耐力、剛性、変形性状におよぼす影響は大きいものである。引張プレースの挙動はかなり推測し得るが、組立材の圧縮プレースは座屈耐力や座屈後の性状に関して不明の点が多くある。しかも、端部の接合条件、偏心等の影響を受け、ラーメンに与える影響も複雑である。そこで、プレース付きラーメン試験体からプレースのみを切り出した形の単材の試験体を作成し、座屈実験を行なった。

3.2. 試験体および測定法

図-9のごとく、両端にガセットプレートを、また中央部に1~4個のハサミ板をもつ、ハイテンボルトによって組立てられた2本の[2-125×65×9の試験体である。長さはラーメン試験体のRV, RX, RZ型

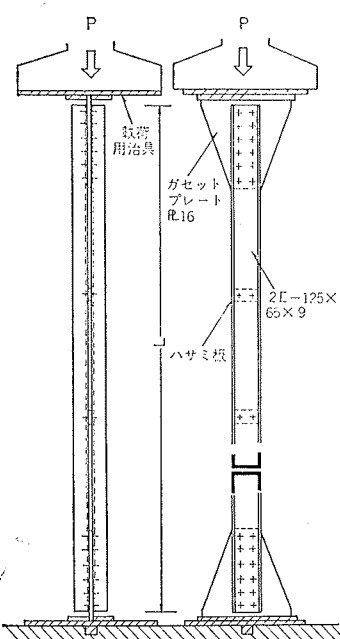


図-9 試験体および載荷図

に対応したものの他に4種類を加えて計7体で、名称はBLとし、そのうしろに試験体の長さをあらわす数値をつけてBL1.4, BL3.3のごとく名付けた。細長比は33~102の範囲で、すべて面外の塑性座屈を起こす。

加力は上下に凹型の治具についてガセットプレートの部分に圧縮力を加えた。

なお、使用鋼材はラーメン試験体のプレース部分と全く同じである。

測定はダイヤルゲージで試験体の縮み、横たわみを、また、ストレインゲージで中央部の曲がりの状態と歪み分布を調べた。

3.3. 実験結果および考察

座屈荷重を計算値とともに表-2に、また無次元化して図-10に示す。荷重一横たわみ量、荷重一部材の縮み量を各々図-11、図-12に示す。なお、図-10の×印はラーメン試験体のプレースの座屈荷重をあらわ

試験体 結果	BL3.3	BL2.9	BL2.5	BL2.1	BL1.8	BL1.4	BL1.0
長さ:L/mm	3300	2900	2500	2100	1800	1400	1000
細長比	102.5	91.5	78.6	67.5	57.3	45.7	33.6
実験値TON	59.1	62.5	62.5	67.0	64.5	72.7	73.0
座屈計算値TON	60.4	64.7	67.3	69.3	70.6	71.7	72.2
実験値 計算値	0.98	0.97	0.93	0.97	0.91	1.01	1.01
重 量	0.81	0.85	0.85	0.91	0.88	0.99	0.99
ハサミ板の数	4	3	3	2	2	1	0

但し、BL2.9はRZ型に、BL2.1はRV型に対応する。

表-2 実験結果

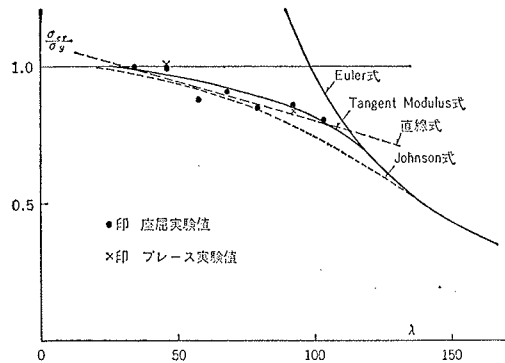


図-10 座屈応力-細長比関係

す。計算は前章の場合と同様に単一材の中心圧縮塑性座屈と考えて Tangent Modulus 理論を用いて行なった。ただし、載荷にあたってかなり調整をこころみたが、治具と試験体のガセットプレートの間が密着せず、不可避の偏心を認めた。しかし、量的に不明確なために、これを無視している。

ラーメン試験体 RZ, RV, RX 型のプレースの座屈応力を含めて、実験値の座屈応力は細長比 $\lambda=50$ より小さい範囲ではほぼ降伏応力に近く、細長比が増加するにつれて直線的に低下し、 $\lambda=100$ で $0.8\sigma_y$ 程度になる。すなわち、 $\sigma_{cr}/\sigma_y = -0.00285\lambda + 1.0855$ の直線に近似し、Tetmajer の直線式の形となる。

これらの値を Tangent Modulus 理論の ν (比例限度/降伏応力) = 0.7 の二次曲線式と比較すると $\lambda < 50$ の範囲ではかなり良く一致するが、その中間の範囲では計算値より少々低い座屈応力を示している。しかし、平均的にみると実験値/計算値 = 0.97 で良い結果ともいえる。

また、ラーメン試験体のプレースの座屈応力は単材の結果ときわめて良く一致している。

次に、図-12で座屈以後の挙動をみてみると、細長比の小さな BL 1.0, BL 1.4 では座屈後の耐力の低下が

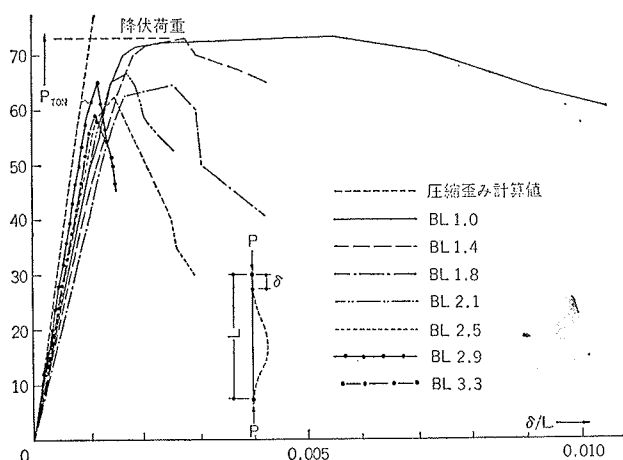


図-12 荷重-縮み量曲線

ゆるやかで、細長比の大きな BL 3.3, BL 2.9 等では座屈すると耐力は急激に低下している。この BL 2.9 の荷重-縮み量の結果を R Z型のプレースの耐力曲線に換算したものを図-15に併記している。初期勾配を比較すると BL 2.9 の方は計算値とよく一致し、プレースは 15% くらい低い。また、耐力低下の勾配は両者ともかなり傾向が似ているが、最大荷重を維持する状態がかなり異っている。やはり、プレースはラーメンから圧縮力の他に曲げやせん断力を受けると同時に、座屈後もラーメンの影響を受け単純な座屈実験の挙動とはならないようである。

図-12は試験体の全縮み量を歪みに換算したもので圧縮歪みと単位長さに関する曲げ縮みを含んでいる。図は省略したが、各試験体とも圧縮歪みは計算値とよく一致し、図-12の点線に近い。したがって、この計算値の点線と実験値との差が曲げによる縮みであり、

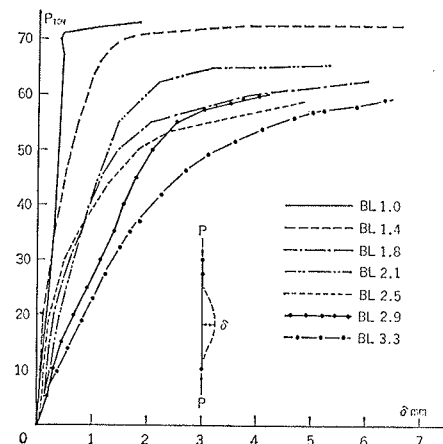


図-11 荷重-横たわみ曲線

全体の 10~50% を占め、材長の大きなものほど曲げによる影響は小さいようである。

また、部材中央のたわみを示す図-11をみても明らかのように、荷重が低い時から部材は曲がり始め、中央の歪み分布にもその傾向がみられる。これらの性質はラーメン試験体のプレースにもあらわれ、また、曲がり方も類似していた。

3.4. 結論

- 1) 座屈応力-細長比の関係は Tangent Modulus 理論とかなり良く一致するが、二次曲線よりはむしろ直線的である。
- 2) 座屈後は耐力の低下を見るが、細長比の小さいものほど低下がゆるやかである。
- 3) 単材の座屈実験の結果をラーメン試験体のプレースの変形に換算すると剛性は少々高いものになる。また、最大耐力の持続状態も違っているが、これは

ラーメンの影響と思われる。

- 4) 全体の縮み量は圧縮縮みの他に10~50%の曲げ縮みが含まれる。

参考文献

1. 繰り返し水平荷重を受けるラーメンの性状：
若林実, 辻文三
2. 繰り返し荷重を受ける鋼構造物の弾塑性における挙動に関する研究：藤本盛助, 松本芳紀
3. 交番繰り返し力を受けるH型鋼架構の塑性挙動：
五十嵐定義, 多賀直恒
4. 組立て圧縮材の座屈に関する実験的研究：
若林実, 野中泰二郎, 小城修
5. 単一山型鋼の座屈耐力に関する実験的研究：
横尾義貴, 若林実, 野中泰二郎